

Editing of the MALAT1 Gene in MDA-MB-361 Breast Cancer Cell Line using the Novel CRISPR Method

Soraya Ahmadi-Baloutaki¹ , Abbas Doosti^{2*} , Mojtaba Jafarinia³ , Hamed Reza Goodarzi¹ 

¹ Dept of Genetic, Marvdasht Branch, Islamic Azad University, Marvdasht, Iran

² Biotechnology Research Center, Shahrood Branch, Islamic Azad University, Shahrood, Iran

³ Dept of Biology, Marvdasht Branch, Islamic Azad University, Marvdasht, Iran

Article Info

Article type:
Research article

Article History:

Received: 01 July 2021

Revised: 19 November 2021

Accepted: 18 December 2021

Published Online: 23 May 2022

*** Correspondence to:**

Abbas Doosti
Biotechnology Research Center,
Shahrood Branch, Islamic Azad
University, Shahrood, Iran
Email: abbasdoosti@yahoo.com

ABSTRACT

Introduction: Long non-coding RNAs play an important role in regulating gene expression, RNA processing, histone modification, and rearrangement of chromatin genes. These molecules can also be involved in many biological processes, such as organogenesis, cell differentiation, development, genome imprinting, quantitative compensation, and tumorigenesis. High expression of MALAT1 (a type of lncRNA) in many cancers, including breast cancer, indicates that a disorder of MALAT1 regulation is an important factor in the development of many types of cancer. Breast cancer is the most common cancer among women worldwide, and the invasion, as well as metastasis of this disease, are considered among the main causes of death. The present study aimed to knock out the MALAT1 gene in the MDA-MB-361 breast cancer cell line and evaluate its function and effects on the expression of genes associated with apoptosis.

Material & Methods: In this study, two types of sgRNA were designed by CHOPCHOP software for exon 1 of the MALAT1 gene. These sgRNAs were cloned separately into two CRISPR vectors to generate the recombinant vectors PX459-sgRNA1 and PX459-sgRNA2. Co-transfection of these two recombinant vectors into the MDA-MB-361 cancer cell line was performed using lipofectamine 2000. MALAT1 gene editing was investigated in the cells receiving recombinant vectors. The expression of genes related to apoptosis was analyzed by Real-Time PCR. Cell proliferation and apoptosis were assessed by MTT and flow cytometry methods, respectively.
(Ethic code: IR.IAU.M.REC.1399.010)

Findings: The MALAT1 gene was edited by the CRISPR method in MDA-MB-361 cells. The rate of cell proliferation in the cells of the treatment group, compared to the control groups, showed a significant decrease ($P<0.05$). Apoptosis levels were significantly increased in cancer cells the MALAT1 gene of which had been deleted. Moreover, the expression of BCL2 and survivin anti-apoptotic genes in treated (edited) cells was significantly reduced, compared to control cells ($P<0.05$). Increased expression of proapoptotic genes P53, BAK, BAX, and FAS was also observed in the edited cells ($P<0.05$).

Discussion & Conclusion: The results of this study confirm that the deletion of the MALAT1 gene has a significant effect on increasing apoptosis and reducing cell proliferation. A reduction in the expression of the MALAT1 gene can prevent the growth and proliferation of breast cancer cell lines. Therefore, it seems that the control of MALAT1 oncogene expression is useful and effective for controlling tumors.

Keywords: Apoptosis, Breast cancer cell line, CRISPR, MALAT1

➤ How to cite this paper

Ahmadi-Baloutaki S, Doosti A, Jafarinia M, Goodarzi HR. Editing of the MALAT1 Gene in MDA-MB-361 Breast Cancer Cell Line using the Novel CRISPR Method. Journal of Ilam University of Medical Sciences. 2022;30(2): 18-31.



© The Author(s)

Publisher: Ilam University of Medical Sciences

ویرایش ژن MALAT1 در رده سلولی سرطان سینه MDA-MB-361 با روش نوین کریسپر

ثريا احمدى بلوطکى^۱, عباس دوستى^{۲*}, مجتبى جعفرى نيا^۳, حامدرضا گودرزى^۱

^۱ گروه ژنتيك، واحد مرودشت، دانشگاه آزاد اسلامي، مرودشت، ايران

^۲ مرکز تحقیقات بیوتکنولوژي، واحد شهرکرد، دانشگاه آزاد اسلامي، شهرکرد، ايران

^۳ گروه زیست‌شناسي، واحد مرودشت، دانشگاه آزاد اسلامي، مرودشت، اiran

چکیده

اطلاعات مقاله

نوع مقاله: پژوهشي

تاریخ دریافت: ۱۴۰۰/۰۴/۱۹

تاریخ ویرایش: ۱۴۰۰/۰۸/۲۸

تاریخ پذيرش: ۱۴۰۰/۰۹/۲۷

تاریخ انتشار: ۱۴۰۱/۰۳/۰۲

نويسنده مسئول:

عباس دوستى

مرکز تحقیقات بیوتکنولوژي،

واحد شهرکرد، دانشگاه آزاد

اسلامي، شهرکرد، اiran

Email:

abbasdoosti@yahoo.com

مقدمه: RNAهای غیر کد کننده بلند به طور فعال نقش مهمی در تنظیم بیان ژن، پردازش RNA، اصلاح هیستون و بازآرایی ژن‌های کروماتین ایفا می‌کنند؛ همچنین این مولکول‌ها می‌توانند در فرایندهای زیست‌شناختی متعدد از جمله اندازایی، تمايزر سلولی، نمو طبیعی، نقش پذیری ژنوم، جبران مقادیر و روند تومورازایی دخیل باشند. بیان بالای MALAT1 (نوعی lncRNA) در بسیاری از سرطان‌ها، از جمله سرطان سینه نشان می‌دهد که اختلال تنظیم MALAT1 در رشد بسیاری از انواع سرطان‌ها عامل مهم به شمار می‌رود. سرطان سینه شایع ترین سرطان در میان زنان در سراسر جهان است و تهاجم و متاباز این بیماری از علل اصلی مرگ و میر مرتبط با آن است. هدف از مطالعه حاضر، حذف ژن MALAT1 در رده سلولی MDA-MB-361 سرطان سینه و ارزیابی عملکرد و تأثیرات آن روی بیان ژن‌های مرتبط با آپوپتوز است.

مواد و روش‌ها: در این مطالعه، دو نوع sgRNA توسط نرم‌افزار CHOPCHOP برای اگزون شماره ۱ ژن MALAT1 طراحی شد. این sgRNAها در دو وکتور کریسپر به صورت جداگانه کلون گردیدند تا وکتورهای نوترکیب PX459-sgRNA1 و PX459-sgRNA2 به وجود آیند. انتقال همزمان این دو وکتور به رده سلول‌های سرطانی MDA-MB-361 با استفاده از لیپوکاتامین ۲۰۰۰ صورت گرفت. ویرایش ژن MALAT1 در سلول‌های دریافت‌کننده وکتورهای کریسپر بررسی شد. میزان بیان ژن‌های مرتبط با آپوپتوز به روش real time PCR آنالیز گردید. میزان تکثیر سلولی و آپوپتوز به ترتیب با روش‌های MTT و فلوریستومتری ارزیابی شد.

یافته‌ها: ویرایش ژن MALAT1 به روش کریسپر در سلول‌های MDA-MB-361 صورت گرفت. میزان تکثیر سلولی در سلول‌های گروه تیمار نسبت به گروه‌های کنترل، کاهش معنی داری نشان داد ($P<0.05$). سطح آپوپتوز در سلول‌های سرطانی که ژن MALAT1 آنها حذف گردیده است، با افزایش چشمگیری همراه بود؛ همچنین بیان ژن‌های آنتی آپوپتوزی BCL2 و survivin در سلول‌های تحت تیمار (ویرایش شده) نسبت به سلول‌های گروه کنترل، به صورت معناداری کاهش یافت ($P<0.05$). افزایش بیان ژن‌های پروآپوپتوزی P53، BAX، BAK و FAS نیز در سلول‌های ویرایش شده مشاهده گردید ($P<0.05$).

بحث و نتیجه‌گیری: نتایج این مطالعه تأیید می‌کند که حذف ژن MALAT1 در افزایش آپوپتوز و کاهش تکثیر سلولی تأثیر بسیاری دارد و کاهش بیان ژن MALAT1 می‌تواند از رشد و تکثیر رده سلولی سرطان سینه جلوگیری کند؛ بنابراین، به نظر می‌رسد کنترل بیان انکوژن MALAT1 برای کنترل تومورها مفید و مؤثر است.

واژه‌های کلیدی: MALAT1، رده سلولی سرطان سینه، کریسپر، آپوپتوز

استناد: احمدى بلوطکى، ثريا؛ دوستى، عباس؛ جعفرى نيا، مجتبى؛ گودرزى، حامدرضا. ویرایش ژن MALAT1 در رده سلولی سرطان سینه- MDA-MB-361 با روش نوین کریسپر. مجله علمی دانشگاه علوم پزشکی ایلام، تیر ۱۴۰۱؛ (۲): ۳۱-۱۸.



مقدمه

این مولکول‌ها با فعال کردن یا مهار مسیرهای متاستاتیک، در ایجاد یا مهار سرطان‌های مختلف و توسعهٔ متاستاز نقش مهمی ایفا می‌کنند (۹).

یکی از lncRNA‌های مؤثر در بروز سرطان، Metastasis Associated Lung (MALAT1) نام دارد. MALAT1 (Adenocarcinoma Transcript 1) نوعی RNA غیرکدکننده بلند بین‌ژنی است که بیش از ۸۰۰۰ نوکلوتید دارد. مکان آن در ژنوم انسان روی بازوی بلند کروموزوم شماره ۱۱ (11q13) انسان است. ساختار این lncRNA در میان گونه‌های مختلف سینه‌داران بسیار حفاظت‌شده است. MALAT1 ابتدا به عنوان یک نشانگر برای تشخیص مراحل اولیه بروز سرطان ریه شناسایی شد (۱۰، ۹). مطالعات نشان داده‌اند که بیان بیش از حد MALAT1 در سرطان‌های مختلف مشاهده شده است (۱۲)، به طوری که بیان بالای آن با تومورزایی و پیشرفت سرطان همراه است و در بروز متاستاز نقش دارد (۱۳-۱۵). بیان بالای MALAT1 در سرطان سینه نیز دیده شده است. درواقع، این افزایش بیان سبب تکثیر و متاستاز سلول‌های سرطانی سینه می‌گردد؛ به همین علت، MALAT1 در سرطان سینه به عنوان یک عامل خطرساز و قابل توجه مطرح است (۱۶). MALAT1 به عنوان عامل تنظیم کننده رونویسی برای ژن‌های درگیر در متاستاز سرطان سینه و مهاجرت سلولی شناخته می‌شود و در تنظیم چرخه سلولی نیز نقش دارد (۱۷)؛ بنابراین، سرکوب بیان MALAT1 می‌تواند از تهاجم و متاستاز سرطان سینه جلوگیری کند (۱۸، ۱۹). ردء سلولی سرطان سینه MDA-MB-361 یکی از سلول‌های سرطانی بدخیم است که در تحقیقات مختلف در زمینه سرطان استفاده می‌شود. این سلول اولین بار از یک زن ۴۰ ساله قفقازی مبتلا به آدنوکارسینومای سینه جداسازی شد (۲۰). یکی از راه‌های نوین برای دست‌کاری و ویرایش ژنوم موجودات زنده سامانه CRISPR/cas9 است. امروزه، از فن CRISPR/cas9 برای افزودن یا حذف ژن‌ها در طیف وسیعی از ارگانیسم‌ها و سلول‌ها، استفاده

سرطان سینه شایع‌ترین سرطان در میان زنان در سراسر جهان است. در میان سایر سرطان‌ها، این سرطان به عنوان پنجمین عامل مرگ‌ومیر شناخته می‌شود (۱)؛ همچنین ۱۵ درصد از کل مرگ‌ومیر در میان زنان ناشی از سرطان سینه است. شیوع سرطان سینه در کشورهای پیشرفته بیشتر از کشورهای در حال توسعه است، هرچند این سرطان در ایران، سرطان سینه ۲۴/۴ درصد بدخیمی‌ها را به خود اختصاص داده است و رتبه اول ابتلا به سرطان را در میان زنان دارد. تشخیص زودهنگام و به موقع این سرطان نقش مهمی در بهبود بیماران و کاهش میزان مرگ‌ومیر را در پی خواهد داشت (۳). عوامل متعدد ژنتیکی و محیطی در بروز سرطان دخالت دارند. از جمله عواملی که در بروز یا پیشگیری از سرطان نقش مهمی ایفا می‌کنند، RNAهای غیرکدکننده بلند (long non-coding RNAs: lncRNAs) هستند که هیچ پروتئینی را کد نمی‌کنند (۴). همان‌طوری که هیچ رونوشت‌های غیر رمزگذار با طول بیش از ۲۰۰ نوکلوتید هستند که بیشتر در هسته سلول قرار دارند (۵). عملکردهای عمدۀ lncRNA‌ها عبارت‌اند از: مشارکت در بازآرایی ژنوم، تنظیم رونویسی، ثبت mRNA و همچنین در فرایندهای زیستی دیگر مثل سرطان‌زایی، آپوپتوز، چرخه سلولی، تکوین، تمایز، تنظیم اپی‌ژنتیک، تهاجم و متاستاز نقش اساسی بازی می‌کنند (۷، ۶). اگرچه lncRNA‌ها نمی‌توانند پروتئین‌ها را رمزگذاری کنند؛ اما نقش آن‌ها در فرایندهای سلولی بسیار ضروری و پیچیده است. این مولکول‌ها با پروتئین‌های متصل شونده به RNA برهمنش دارند و قادر به فعل سازی هم‌زمان عوامل رونویسی یا سرکوب پرموترهای ژن‌های هدف هستند که به تنظیم فرایند رونویسی منجر می‌شود (۸). از نظر مولکولی، lncRNA‌ها به ۵ گروه طبقه‌بندی می‌شوند که شامل lncRNAهای بین‌ژنی، اینترونی، سنس، آنتی‌سنس و دوطرفه (bidirectional) هستند. مسیرهای متاستاتیک با lncRNAها ارتباط بسیاری دارند، به طوری که

بنابراین، دو وکتور نوترکیب تخصصی برای ویرایش ژنوم سلول ایجاد گردید که در این تحقیق با نام‌های PX459 و PX459-sgRNA2 خوانده می‌شوند. تأیید صحت وکتورهای نوترکیب حاصل با انجام PCR با پرایمرهای اختصاصی hU6-F و hU6-R و sgR1-R و نوترکیب PX459-sgRNA1 و پرایمرهای hU6-F و hU6-R و sgR2-R و کلون شده طراحی گردید. با توجه به اینکه اندازه ژن PX459-sgRNA2 برابر با دو sgRNA مساوی است، برای ایجاد گرفت. پرایم فوروارد از روی پروموتر hU6 درون وکتور و پرایم ریورس از روی ناحیه مکمل ژن PX459-sgRNA1 کلون شده طراحی گردید. هر دو sgRNA دقیقاً با یکدیگر مساوی و برابر هستند؛ بنابراین، طول محصول PCR روی هر دو وکتور نوترکیب، به اندازه ۲۷۶ جفت باز است. توالی پرایمرهای استفاده شده در این مرحله در جدول شماره ۱ آمده است. وکتورهای ایجاد شده علاوه بر حمل RNAهای راهنمایی، امکان تولید آنزیم اندونوکلتازی Cas9 را دارند. این آنزیم برش‌های لازم را در محل اتصال RNAهای راهنمایی ژنوم سلول هدف ایجاد می‌کند. از وکتور RNA مخصوصاً، به عنوان کنترل در آزمایش‌ها استفاده شد. ویرایش ژنوم سلول سرطانی: رده سلولی سرطان سینه MDA-MB-361 از بخش بانک سلولی انتستیتو پاستور ایران خریداری گردید. سلول‌های مذکور در محیط کشت RPMI 1640 (Gibco، آمریکا) غنی شده با ۱۰ درصد سرم جنین گاوی (FBS) و همراه با ۱ درصد مخلوط آنتی‌بیوتیک‌های پنی‌سیلین و استرپتومایسین در فلاسک‌های T25 کشت داده شدند. شرایط رشد و نگهداری سلول‌ها در انکوباتور ۳۷ درجه سانتی‌گراد، دارای ۵ درصد دی‌اکسید کربن و ۹۵ درصد رطوبت بود. برای ویرایش ژنوم سلول سرطانی MDA-MB-361 لازم است دو پلاسمید نوترکیب PX459-sgRNA1 و PX459 و

sgRNA2 به درون سلول منتقل شوند. برای انتقال این پلاسمیدها، از روش استاندارد ترانسفکشن با کاربرد لیپوزوم بهره گرفته شد. به این منظور، از محلول لیپوفکتمین

می‌شود، به طوری که از آن می‌توان برای حذف هر منطقه ژنومی با دقت بسیار بالا استفاده کرد. در سال‌های اخیر، از فن کریسپر برای درمان سرطان‌ها، بیماری‌های عصبی، بیماری‌های ارثی و بیماری‌های قلبی و عروقی کمک گرفته شده است (۲۱، ۲۲). در سال ۲۰۱۳ میلادی، برای اولین بار تکنیک CRISPR/cas9، برای ویرایش ژنوم سلول‌های سینه‌داران به کاربرده شد. اخیراً با توسعه تکنیک کریسپر، دست‌کاری و مهندسی ژنوم سلول‌ها توسعه و تسريع یافته است (۲۳). هدف از این تحقیق، مطالعه و بررسی آثار حذف ژن MALAT1 مؤثر در بروز سرطان با تکنیک نوین ویرایش ژنی CRISPR/Cas9 در رده سلولی سرطان سینه MDA-MB-361 است.

مواد و روش‌ها

طراحی سامانه CRISPR/Cas9 اختصاصی: در این پژوهش تجربی-آزمایشگاهی، یک سامانه ویرایش ژنی تخصصی با استفاده از فن کریسپر طراحی شد تا بخش نسبتاً بزرگی از اگزون شماره ۱ ژن MALAT1 از ژنوم رده سلولی سرطان سینه MDA-MB-361 حذف گردد. به این منظور، دو راهنمای RNA (sgRNA1 یا CHOPCHOP RNA) با استفاده از نرمافزار آنلاین طراحی شد. توالی نوکلئوتیدی RNA راهنمای اول به نام ACTTCTCAACCGTCCCTGCA شامل sgRNA1 و AGGTT توالی نوکلئوتیدی sgRNA2 به صورت TCTAAAACATGACGG است. با کاربرد این دو راهنمای RNA در سلول، ناحیه میان آن‌ها که شامل بخش RNA از اگزون شماره ۱ ژن MALAT1 می‌شود، از کروموزوم شماره ۱۱ سلول انسانی حذف می‌گردد؛ به عبارت ساده‌تر، در این پژوهش، ژنوم سلول MDA-MB-361 به گونه‌ای با فن کریسپر ویرایش می‌گردد که قادر به تولید محصولات ژن MALAT1 نخواهد بود.

دو توالی RNA راهنمای که در بالا اشاره شد، به صورت pSCas9(BB)-2A-Puor مجزا در وکتور کریسپری (Addgene، USA) V2.0 (PX459)

تک سلولی استفاده شد؛ یعنی از میان سلول‌های مقاوم به آنتی‌بیوتیک پورومایسین که نشان‌دهنده دریافت وکتورهای نوترکیب است، رقت‌سازی‌های متوالی در پلیت ۹۶ خانه استریل صورت گرفت؛ سپس ۴۸ ساعت به سلول‌ها اجازه رشد در شرایط انکوباتور CO₂ در دمای ۳۷ درجه سانتی‌گراد داده شد. از رقت‌های آخر که شانس رشد تک کلون در آن‌ها بیشتر است، نمونه‌برداری صورت گرفت.

سپس برای بررسی این ناحیه حذف شده، از روش PCR با کمک پرایمرهای مخصوص ژن MALAT1 (جدول شماره ۱) استفاده گردید؛ بنابراین، ابتدا از سلول‌های دست کاری شده (گروه تیمار و گروه کنترل) با استفاده از کیت استخراج DNA سیناکلون (ایران)، ژنوم کامل سلول تخلیص شد؛ سپس کیفیت و غلظت DNA تخلیص شده با استفاده از روش اسپکتروفتومتری و دستگاه نانودрап (ترموفیشر، آمریکا) ارزیابی گردید و پس از آن، واکنش PCR شامل ۱۰ میکرولیتر مستر میکس 2X (یکتا تجهیز آزمایشگاهی، ایران)، ۰/۰۳ نانومول از هریک از پرایمرهای رفت‌وبرگشت (جدول شماره ۱)، مقدار ۱۰۰ نانوگرم از DNA سلول و با افزودن آب مقطر، در حجم کلی ۲۰ میکرولیتر صورت گرفت؛ سپس مخلوط واکنش‌گرها در دستگاه PCR (اپندرف، آلمان) با برنامه دمایی شامل دناتوراسیون اولیه در شرایط ۹۵ درجه سانتی‌گراد به مدت ۵ دقیقه، سپس ۳۰ مرحله پیاپی به صورت دناتوراسیون در دمای ۹۴ درجه سانتی‌گراد به مدت ۱ دقیقه، اتصال در ۶۲ درجه سانتی‌گراد به مدت ۱ دقیقه، تکثیر در دمای ۷۲ درجه سانتی‌گراد به مدت ۱ دقیقه و تکثیر نهایی در یک مرحله با دمای ۷۲ درجه سانتی‌گراد به مدت ۵ دقیقه انجام شد. محصولات PCR روی ژل آگارز ۱ درصد الکتروفورز گردیدند و پس از رنگ‌آمیزی با اتیدیوم برومايد، تصویربرداری از ژل با دستگاه UVI tech (انگلستان) صورت پذیرفت.

با انجام واکنش PCR با پرایمرهای اختصاصی MALAT1-R و MALAT1-F روی ژنوم سلول‌های

۲۰۰۰ (ترموفیشر، آمریکا)، استفاده گردید، به طوری که ابتدا سلول‌های سرطانی در ۳ خانه از یک پلیت ۶ خانه مخصوص کشت سلول، به تعداد ۳۰۰ هزار سلول به ازای هر خانه کشت داده شد. سلول‌ها به مدت ۲۴ ساعت در انکوباتور با دمای ۳۷ درجه سانتی‌گراد و در شرایط ۵ درصد دی‌اکسید کربن قرار گرفتند؛ سپس محیط کشت روی سلول‌ها با محیط کشت تازه بدون FBS تعویض گردید و مخلوط لیوفکشن در حجم نهایی ۱۰۰ میکرولیتر شامل ۲ میکرولیتر لیوفکتامین، ۲ میکروگرم پلاسمید به همراه محیط کشت RPMI، به صورت قطره‌قطره به کشت سلولی افزوده شد. گروه‌بندی سلول‌ها به این صورت است که به خانه اول، هر دو پلاسمید PX459-sgRNA1 و PX459-sgRNA2 (گروه تیمار) و به خانه دوم پلاسمید PX459-GFP اضافه گردید (گروه پلاسمید خالی) و گروه سوم شامل خانه‌ای است که تنها حاوی سلول‌های کشت‌شده بدون هرگونه تیمار است (گروه بدون پلاسمید). پس از گذشت ۲۴ ساعت، محیط کشت روی سلول‌ها با محیط تازه دارای آنتی‌بیوتیک پورومایسین (۲ میکروگرم در هر میلی‌لیتر) تعویض شد. نشانگر انتخابی وکتور کریسپری PX459، مقاومت نسبت به پورومایسین است و سلول‌های دریافت‌کننده وکتور کریسپری در حضور پورومایسین زنده می‌مانند.

بررسی صحت عملکرد سامانه کریسپر در صورت اتصال دو RNA راهنمای sgRNA1 و sgRNA2 به نواحی مکمل خود روی اگزون شماره ۱ ژن MALAT1 در سلول سرطانی MDA-MB-361، آنزیم برش دهنده Cas9 موجب ایجاد شکاف در این نواحی خواهد شد. حاصل این فرایند، حذف بخش بزرگی از ژن MALAT1 و ناک اوت کردن آن است. با علم به اینکه ساختار کروموزومی سلول‌های یوکاریوت به صورت دیپلوئید (2n) است؛ بنابراین، پس از تأثیر سامانه ویرایش ژنوم کریسپر ممکن است یک آلل یا هر دو آلل ژن MALAT1 در سلول‌های سرطانی حذف گردد. برای یافتن سلول‌هایی که هر دو آلل ژن یادشده در آن‌ها حذف گردیده، از سامانه انتخاب کلون‌های

survivin BCL2، FAS، BAX، BAK به روش کمی real time PCR بررسی گردیدند. در هر مرحله از آزمایش، از ژن خانه داری GAPDH به عنوان ژن رفرنس برای نرم افزاری داده ها استفاده شد.

مخلوط واکنشگرها شامل ۷/۵ میکرو لیتر از مستر میکس SYBR 2X (یکتا تجهیز آزمایش، ایران)، ۰/۰۳ نانومول از هر یک از پرایمرهای فوروارد و ریورس (جدول شماره ۱)، مقدار ۱۰۰ نانو گرم از cDNA و با افزودن آب مقتدر، در حجم نهایی ۱۵ میکرو لیتر تهیه شد. برنامه دمایی در دستگاه real time PCR (کیا زن، آلمان) تنظیم گردید. مراحل برنامه دمایی شامل دنا توراسیون اولیه در دمای ۹۴ درجه سانتی گراد به مدت ۳ دقیقه، در ادامه ۴۰ مرحله پیاپی به صورت دنا توراسیون در دمای ۹۴ درجه سانتی گراد برای ۱۵ ثانیه، مرحله اتصال پرایمرها بر اساس جدول شماره ۱ به مدت ۱۵ ثانیه و مرحله تکثیر در دمای ۷۲ درجه سانتی گراد به مدت ۲۰ ثانیه اجرا گردید.

درنهایت، به منظور آنالیز منحنی ذوب، دمای دستگاه بین ۹۵ تا ۹۵ درجه سانتی گراد با طیف افزایش دمایی ۱ درجه سانتی گراد در هر ثانیه تنظیم شد. داده های حاصل از Rotor Gene 6000 (بررسی بیان ژن های یاد شده، با نرم افزار ۶۰۰۰ Rotor Gene) در دستگاه real time PCR و به روش ۲- $\Delta\Delta Ct$ مقایسه گردیدند.

سنجهش میزان تکثیر سلول ها به روش MTT میزان تکثیر سلولی در رده سلولی سرطان سینه ۳۶۱ تیمار شده (ناک اوت) در مقایسه با گروه های کنترل (گروه پلاسمید خالی و گروه بدون پلاسمید)، با روش متیل تیازول ترازو لیوم (Methyl Thiazol Tetrazolium) یا Cell Titer BrdU kit (Roche) استفاده گردید. در این آزمایش، سلول ها در پلیت کشت سلولی ۹۶ خانه کشت داده شدند. پس از رشد سلول ها، محیط کشت روی سلول ها خارج گردید و دو بار با PBS شستشو صورت گرفت؛ سپس به هر خانه، مقدار ۱۰۰ میکرو لیتر محیط کشت RPMI بدون PBS به همراه ۵ میکرو گرم در میلی لیتر

دست کاری نشده یا سلول های گروه کنترل (پلاسمید خالی)، محصولی به اندازه ۱۱۶۲ جفت باز پدید می آید. در صورت صحت عملکرد این سامانه کریسپری خاص، روی رده سلولی سرطان سینه MDA-MB-361 ویرایش شده، یک قطعه ۶۹۱ جفت بازی حذف می شود؛ بنابراین، در این گونه سلول ها، یک محصول PCR کوتاه به اندازه ۴۷۱ جفت باز حاصل می گردد. بدین منظور، مشاهده قطعات ۱۱۶۲ و ۴۷۱ جفت بازی روی ژل آگارز، به ترتیب نشان دهنده ژن سالم MALAT1 و ژن ویرایش شده (ناک اوت) MALAT1 خواهد بود؛ بنابراین، درباره این سلول ها پس از دست کاری ژنتیکی، سه حالت ممکن است اتفاق بیفتد: در یک گروه ممکن است هر دو آلل MALAT1 مشاهده شود (MALAT1-/MALAT1-)، در گروه دوم ممکن است یک آلل ناک اوت شود و آلل دیگر به صورت طبیعی باقی بماند؛ بنابراین، دو باند ۱۱۶۲ و ۴۷۱ جفت بازی هر دو به وجود می آید (MALAT1+/MALAT1-) و در گروه سوم که ممکن است هیچ یک از آلل ها ناک اوت نشده باشند، تنها یک باند بزرگ ۱۱۶۲ تشکیل می گردد (MALAT1+).

تخلیص RNA و تهیه DNA مکمل: از سلول های گروه تیمار (حذف ژن شده) و سلول های گروه کنترل با استفاده از کیت استخراج RNA شرکت سینا کلون (محلول -RNase)، بر اساس دستور العمل کیت، تخلیص RNA کل سلول صورت گرفت. کیفیت و غلط RNA های جدایشده با کمک روش اسپکترو فوتومتری و دستگاه نانو در اپ (ترمو فیشر، آمریکا) ارزیابی شد. سنتر cDNA با استفاده از کیت شرکت یکتا تجهیز آزمایش (ایران)، بر اساس روش کار کیت انجام گردید.

بررسی تغییرات بیان ژن ها: در این مرحله، میزان بیان ژن های آپوپتوزی در رده سلولی سرطان سینه MDA-MB-361 تیمار شده (ویرایش ژنوم شده) در مقایسه با سلول های گروه کنترل سنجیده شد. به این منظور، ژن های P53

جدول شماره ۱. توالی پرایمرهای استفاده شده در این تحقیق

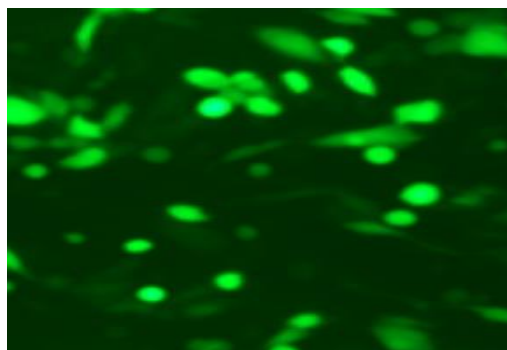
اندازه محصول PCR (bp)	دماهی اتصال	توالی پرایمر ۵'-----۳'	نام پرایمرها	زن
۴۷۱	۶۲	AGCTCTGGTGTGGATTGAG	MALAT1-F	MALA
۲۷۶	۶۲	CGTTAACTAGGCTTAAATGACGCAATTG	MALAT1-R	T1
۲۷۶	۶۲	GAGGGCCTATTTCCATGATT	hU6-F	PX549-
۲۷۶	۶۲	AAGACCTGCAGGGACGGTTG	sgR1-R	sgRAN1
۲۷۶	۶۲	GAGGGCCTATTTCCATGATT	hU6-F	PX549-
۲۷۶	۶۲	AAGACCCGTCATGTTTAG	sgR2-R	sgRAN2
۱۷۰	۶۴	TGCGTGTGGAGTATTGGATGAC	P53-F	P53
۱۷۰	۶۴	CAGTGTGATGATGGTGAGGATGG	P53-R	
۲۴۵	۶۵	GACGACTTCTCCGCCGCTAC	BCL2-F	BCL2
۱۶۳	۶۴	CGGTTCAGGTACTCAGTCATCACAC	BCL2-R	
۲۴۳	۶۵	CAATTCTGCCATAAGCCCTGTC	FAS-F	FAS
۱۵۴	۶۶	GTCCTTCATCACACAATCTACATCTTC	FAS-R	
۲۴۳	۶۵	AGGTCTTTTCCGAGTGGCAGC	BAX-F	BAX
۱۷۰	۶۴	GCGTCCCAAAGTAGGAGAGGAG	BAX-R	
۱۵۴	۶۶	CGTTTTTACCGCCATCAGCAG	BAK-F	BAK
۱۷۰	۶۴	ATAGCGTCGGTTGATGTCGTCC	BAK-R	
۱۸۳	۶۴	AGAACTGGCCCTGGAGG	Surv-F	survivin
۱۷۰	۶۴	CTTTTTATGTTCTCTATGGGTC	Surv-R	
۱۸۳	۶۴	GCCAAAAGGGTCATCATCTCTGC	GDH-F	GAPDH
۱۸۳	۶۴	GGTCACGAGTCCTCCACGATAC	GDH-R	

میکرولیتر از محلول PI به هر لوله اضافه گردید. لوله‌ها در تاریکی به مدت ۲۰ دقیقه در دمای اتاق نگهداری شدند. درنهایت، لوله‌های حاوی سلول توسط دستگاه فلوسیتومتری برسی گردیدند. تجزیه و تحلیل آماری: همه اطلاعات و داده‌های به دست آمده در نرم افزار SPSS vol.20 وارد و تفاوت میان گروه‌ها با آزمون آماری t-student محاسبه شد. با استفاده از نرم افزار GraphPad Prism vol.5.01 نمودارها تهیه گردید. از نظر آماری $P < 0.05$ معنی دار در نظر گرفته شد.

یافته‌ها

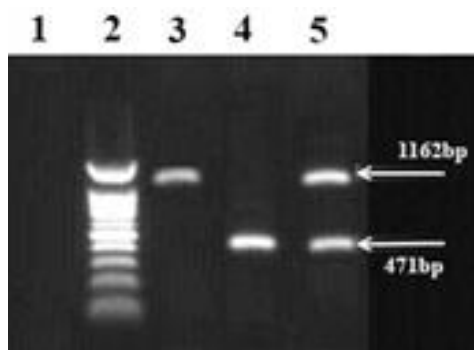
تأیید صحت وکتورهای کریسپری نوتروکیب: پس از طراحی RNAهای راهنمای، توالی‌های sgRNA1 و sgRNA2 به صورت جداگانه در دو وکتور کریسپری کلون گردیدند. نتیجه کلون‌سازی این قطعات ژنی، سبب تشکیل وکتورهای کریسپری نوتروکیب PX459-sgRNA1 و PX459-sgRNA2 شد. با به کار گیری روش PCR مشخص گردید که RNAهای راهنمای با موفقیت در محل صحیح خود در هریک از وکتورها درج شده‌اند. محصول PCR به اندازه ۲۷۶ جفت باز نشان‌دهنده حضور هریک از sgRNAs در وکتور مربوطه هستند (شکل شماره ۱).

از متیل تیازول ترازوولیوم افروده شد و به مدت ۴ ساعت در انکوباتور CO2 دار در دمای ۳۷ درجه سانتی گراد نگهداری گردید؛ سپس محلول روی سلول‌ها خارج و مقدار ۵۰ میکرولیتر دی متیل سولفوكساید (DMSO) اضافه گردید و ۲ ساعت در دمای اتاق نگهداری شدند. درنهایت، تکثیر سلولی در طول موج ۵۷۰ نانومتر و با استفاده از اندازه گیری میزان جذب نور، توسط دستگاه ELISA Reader (BioTek, U.S.A) تعیین گردید. سنجش فلوسیتومتری: برای تعیین میزان در سلول‌های گروه‌های تحت تیمار با سامانه کریسپری و سلول‌های کنترل، از روش فلوسیتومتری استفاده شد. درواقع، آپوپتوز به کمک V Annexin کونزوگه با فلوروروکروم PI ایزوتوپیسانات فلورسین (FITC) و نکروز با Propidium Iodide (PI) سنجش می‌گردد. به این منظور، از Annexin-V-FITC / Propidium iodide Mab کیت استفاده شد. به طور خلاصه، تعداد یک میلیون از هریک از گروه‌های سلولی (گروه‌های تیمار و کنترل) در ۱ میلی‌لیتر از بافر IX به نام Annexin-V binding buffer می‌باشد. به صورت سوسپانسیون درآمد؛ سپس ۱۰۰ میکرولیتر از این سوسپانسیون سلولی به لوله‌های مخصوص فلوسیتومتری منتقل شد و ۵ میکرولیتر از محلول FITC Annexin V



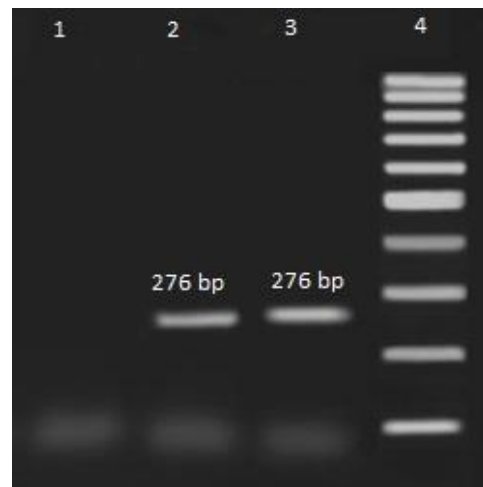
شکل شماره ۲. ترانسفکشن رده سلولی سرطان سینه-361 توسط وکتور مدل SX459-GFP. مشاهده رنگ سبز فلورسنت در سلول‌های ترانسفکت شده تأیید کننده صحت انتقال و وکتورها به رده سلول‌های MDA-MB-361 است.

باند ۱۱۶۲ جفت بازی برای گروه کنترل (بدون حذف ژن) و تشکیل باند تقریبی به اندازه ۴۷۱ جفت بازی برای گروه تیمار است؛ به عبارت دیگر، در سلول‌های نرمال (بدون ویرایش ژن)، محصول PCR به اندازه ۱۱۶۲ جفت بازی است؛ بنابراین، با حذف قطعه ۶۹۱ جفت بازی، مقدار باقی مانده شامل قطعه‌ای به طول حدود ۴۷۱ جفت باز است (شکل شماره ۳). بر اساس این، حذف بخش بزرگی از اگرگون شماره ۱ ژن MALAT1، با فن نوین CRISPR/Cas9



شکل شماره ۳. ویرایش ژن MALAT1 در ژنوم رده سلولی سرطان سینه-361 توسط فن کریپسر.

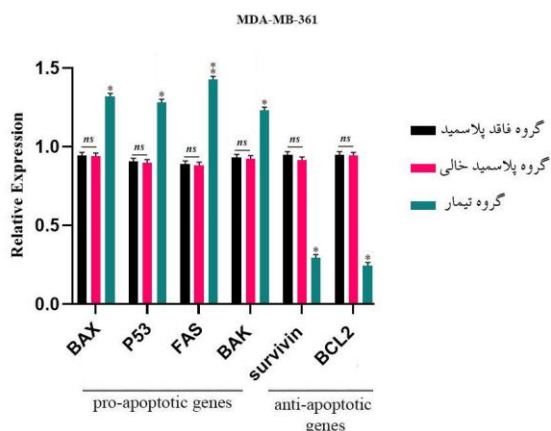
شماره ۱. کنترل منفی PCR (بدون DNA)؛ شماره ۲. نشانگر حذف ژن (DNA)؛ شماره ۳. سلول‌های گروه کنترل (بدون حذف ژن) که باند کامل ۱۱۶۲ جفت بازی را نشان می‌دهند؛ شماره ۴. سلول‌های ویرایش شده هموزیگوت (- / MALAT1-) که تنها یک باند کوچک ۴۷۱ جفت بازی را دارند؛ شماره ۵. سلول‌های ویرایش شده هتروزیگوت (+ / MALAT1+) که دارای هر دو باند ۱۱۶۲ و ۴۷۱ جفت بازی هستند.



شکل شماره ۱. واکنش PCR برای تأیید حضور RNAsgRNAها در وکتورهای نوترکیب کریپسری. شماره ۱، کنترل منفی PCR (بدون DNA)؛ شماره‌های ۲ و ۳، تشکیل باند ۲۷۶ جفت بازی به ترتیب برای هریک از پلاسمیدهای نوترکیب PX459-sgRNA1 و PX459-sgRNA2؛ شماره ۴، نشانگر DNA از نوع ۱۰۰ جفت بازی.

تأیید صحت لیپوفکشن: وکتورهای نوترکیب-PX459 و sgRNA1 و sgRNA2 به طور همزمان و به روش لیپوفکشن به سلول‌های رده سرطان سینه MDA-MB-361 منتقل شدند (گروه تیمار). در شرایط کاملاً مشابه، وکتور PX459-GFP نیز به گروه دیگری از همین سلول‌ها، به عنوان گروه کنترل، منتقل گردید (گروه پلاسمید خالی). مشاهده میکروسکوپی سلول‌های دریافت‌کننده GFP نشان‌دهنده رنگ سبز فلورسنت بود که صحت انتقال و وکتورها به سلول‌های هدف را تأیید می‌کند. نتایج مدنظر در شکل شماره ۲ قابل مشاهده است.

نتیجه ویرایش ژن در سلول‌های سرطانی: ترانسفکشن همزمان دو وکتور نوترکیب PX459-sgRNA1 و PX459-sgRNA2 به رده سلولی MDA-MB-361 باعث حذف قطعه بزرگی از ژن MALAT1 از درون ژنوم این سلول‌ها می‌گردد. در صورتی که عملکرد دو RNAsgRNA منطقه هدف به درستی انجام شده باشد، قطعه‌ای به اندازه ۶۹۱ جفت باز حذف می‌شود. انجام واکنش PCR با پرایمرهای اختصاصی MALAT1-F و MALAT1-R، روی ژنوم سلول‌های گروه تیمار و گروه‌های کنترل، محصولات PCR متفاوتی را ایجاد می‌کند. یافته‌ها نشان‌دهنده تشکیل



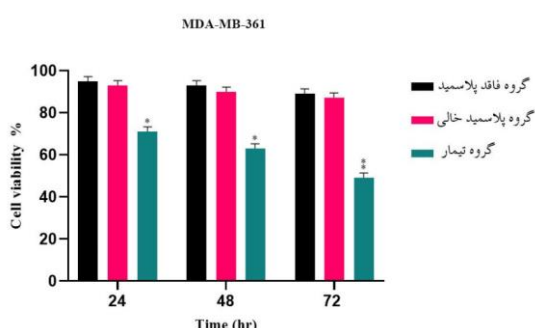
شکل شماره ۴. نتایج بیان ژن‌های مرتبط با آپوپتوز در سلول‌های MDA-MB-361 حذف ژن MALAT1 به روش کریسپر در سلول‌های گروه تیمار سبب کاهش بیان ژن‌های آنتی‌آپوپتوزی (BCL2 و survivin) و افزایش بیان ژن‌های پرو‌آپوپتوزی (BAX، P53، FAS و BAK) گردید.

BAK ($P=0.0086$) و FAS ($P=0.0183$) معنی‌دار افزایش بیان را نشان داده‌اند. علاوه بر این، ژن‌های آنتی‌آپوپتوزی BCL2 ($P=0.0386$) و survivin ($P=0.0437$) کاهش معنا داری در میزان بیان ژن، در مقایسه میان سلول‌های گروه تیمار (حذف ژن شده) و گروه کنترل داشتند.

نتیجه تکثیر سلولی؛ میزان تکثیر سلولی در سلول‌های رده سرطان سینه MDA-MB-361 تیمارشده (MALAT1-) نسبت به سلول‌های کنترل (MALAT1+/+) در بازه زمانی ۲۴، ۴۸ و ۷۲ ساعت بررسی شد. نتایج آزمون MTT نشان داد که کاهش تکثیر در سلول‌های سرطانی حاضر در گروه دریافت‌کننده وکتورهای کریسپری در هر سه بازه زمانی ۲۴، ۴۸ و ۷۲ ساعت مشاهده گردید و سطح معنی‌داری به ترتیب شامل بود (شکل شماره ۵).

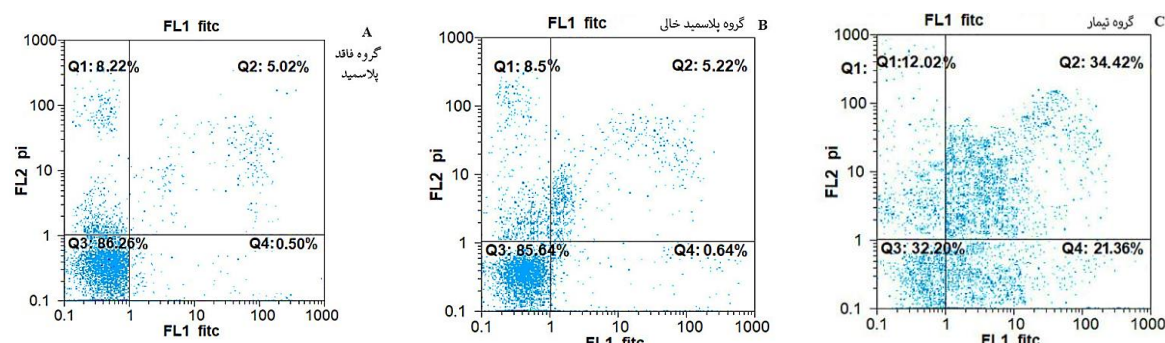
به درستی انجام شد. نظر به اینکه در سلول‌های یوکاریوت، برای هر ژن دو آلل وجود دارد؛ بنابراین، پس از انجام حذف در ژن MALAT1 حالت‌های هتروزیگوت (+/-) (MALAT1- / MALAT1-) یا هموزیگوت (-) مشاهده می‌شود (شکل شماره ۳).

نتیجه تغییرات بیان ژن‌های مرتبط با آپوپتوز در سلول‌های ویرایش‌زننده؛ پس از حذف ژن 1 MALAT1 در سلول‌های MDA-MB-361، سطح بیان ژن‌های real time PCR پرو‌آپوپتوزی و آنتی‌آپوپتوزی به روش ملاحظه سنجیده شد. همان‌طور که در شکل شماره ۴ مشاهده می‌شود، بیان ژن‌های پرو‌آپوپتوزی BAX، P53، FAS و BAK در سلول‌های گروه تیمار (حذف ژن شده)، نسبت به گروه‌های کنترل (گروه پلاسمید خالی و گروه بدون پلاسمید) افزایش داشته است، به طوری که ژن‌های پرو‌آپوپتوزی BAX ($P=0.0113$), P53 ($P=0.0243$), FAS ($P=0.0078$) و BAK ($P=0.0288$) بود (شکل شماره ۴).



شکل شماره ۵. ارزیابی میزان زندمانی و تکثیر رده‌های سلولی حذف ژن شده در مقایسه با رده‌های سلولی کنترل. به مرور زمان و گذشت ۷۲ ساعت، درصد میزان زیستایی سلول‌های MDA-MB-361 تحت تیمار نسبت به گروه کنترل، به صورت معنی‌داری کاهش یافت. میزان P پس از گذشت ۷۲ ساعت به ترتیب ۰.۰۱۳۳، ۰.۰۲۸۸ و ۰.۰۰۷۸ بود.

بود. همان طور که در شکل شماره ۶ ملاحظه می‌شود، میزان سلول‌های زنده در سلول‌های گروه کنترل بیش از ۸۵ درصد است اما در سلول‌هایی که در اثر عملکرد سامانه کریسپری، ژن MALAT1 آنها تخریب شده است، میزان سلول‌های زنده برابر $32/20$ درصد است؛ بنابراین، حذف ژن سرطان‌زای MALAT1 از ژنوم سلول‌های سرطانی، سبب کاهش زیستایی و سوق دادن این گونه سلول‌ها به سوی مرگ برنامه‌ریزی شده می‌گردد.



شکل شماره ۶. نتایج آنالیز آپوپتوز سلولی به روش سنجش فلوسیتومتری. میزان آپوپتوز در سلول‌های تیمارشده نسبت به گروه‌های کنترل افزایش چشمگیری را نشان می‌دهد.

Q1. در صد سلول‌های نکروز شده؛ Q2. در صد سلول‌های آپوپتوز ثانویه؛ Q3. در صد سلول‌های زنده؛ Q4. در صد سلول‌های آپوپتوز اولیه

بزرگ در نظر گرفته شود (۲۵). شی و همکاران دریافتند که MALAT1 می‌تواند یک lncRNA باشد که باعث تکثیر کوریوکارسینوما شود و ممکن است به عنوان یک هدف درمانی در کوریوکارسینوما انسانی عمل کند (۲۶). ژانگ و همکاران گزارش دادند که MALAT1 در بیماران کارسینوم ریه، سلول غیرکوچک (NSCLC) با افزایش بیان همراه است و همچنین با افزایش مرحله TNM و متاستاز غدد لنفاوی ارتباط مثبت دارد. ناکدان MALAT1 از تکثیر و مهاجرت سلولی و تشکیل کلونی جلوگیری می‌کند، در حالی که سبب القای آپوپتوز و توقف چرخه سلولی می‌شود. این نتایج نشان می‌دهد که MALAT1 می‌تواند یک عامل پیش‌بینی کننده و هدف درمان بالینی برای سرطان ریه باشد (۲۷). زیدان و همکاران اثبات کردند که بیان MALAT1 در بیماران سرطان سینه در مقایسه با گروه شاهد، به طور چشمگیری

بیشترین میزان کاهش تکثیر سلولی در خصوص سلول‌های تحت تیمار در فاصله زمانی ۷۲ ساعت دیده شد.

نتایج فلوسیتومتری: ارزیابی میزان آپوپتوز و نکروز در رده سلول‌های MDA-MB-361 تحت تیمار و سلول‌های گروه پلاسمید خالی و گروه بدون پلاسمید توسط رنگ‌آمیزی Annexin V-FITC صورت گرفت. مجموع میزان آپوپتوز اولیه و ثانویه در سه گروه تیمار، پلاسمید خالی و بدون پلاسمید به ترتیب برابر $5/52$ و $5/86$ و $55/78$ می‌باشد.

بحث و نتیجه‌گیری

سامانه کریسپر ابزار قدرتمندی برای ویرایش ژن با کاربردهای گسترده است. این سامانه می‌تواند منجر به حذف ژن یا اضافه کردن ژن به صورت بسیار دقیق شود. هدف قرار دادن دو ناحیه از یک ژن توسط دو نوع RNA راهنمای (دو تا sgRNA)، به حذف قطعه ژنی میان دو توالی sgRNA منجر می‌گردد (۲۴). توسعه فناوری‌های کریسپر، تبدیل به روشی نوین و کارآمد برای ایجاد تغییر در ژنوم بسیاری از موجودات شده است. این سامانه می‌تواند در مهندسی ژنوم، موجب فعال‌سازی یا سرکوب بیان ژن‌ها گردد (۲۳). در مطالعه‌ای، زی و همکاران نشان دادند که MALAT1 در سلول‌های سرطانی روده بزرگ، افزایش بیان دارد و مهار آن از تکثیر سلول‌های سرطانی جلوگیری می‌کند؛ بنابراین، MALAT1 می‌تواند به عنوان یک نشانگر زیستی مهم پیش‌آگهی برای سرطان روده

(۳۲). لی و همکاران از طریق آنالیز ریزآرایه، تغییرات بیان MALAT1 را در بافت‌های طبیعی و سرطانی معده نشان دادند. بیان MALAT1 در بافت‌های سرطانی معده بیشتر از بافت‌های مجاور طبیعی بود و بیماران با سطح بیان بالاتر MALAT1، تهاجم عمیق‌تر، تمایل به مرحله پیشرفته‌تر TNM و زمان بقای کمتری را نسبت به افرادی با سطح بیان پایین MALAT1 از خود نشان دادند. نتایج این مطالعه نشان داد که بیان MALAT1 با تهاجم موضعی، متاستاز گره لنفی (TNM) ارتباط معنی‌داری دارد و ناک‌دان MALAT1 به‌واسطه siRNA باعث کاهش بیان و تهاجم سلولی می‌شود (۳۳). هو و همکاران نشان دادند که MALAT1 در مولتیپل میلوما (MM) در مقایسه با سلول‌های طبیعی پلاسمای پلاسما به شدت بیان شده است و افزایش بیان MALAT1 به‌طور معنی‌داری با پیش‌آگهی ضعیف در بیماران MM در ارتباط است. ناک‌دان بیان آن در سلول‌های MM با استفاده از دو الیگو آنتی‌سنس (anti-MALAT1-1/2) انجام گردید که باعث شکاف‌تگی MALAT1 توسط آنزیم ریبونوکلئاز H و به‌طور فراوانی باعث ناک‌دان MALAT1 در سلول‌ها شد (۳۴). چانگ و همکاران تشخیص دادند که افزایش بیان MALAT1 بیان miR-1 را در سلول‌های سرطان پروستات سرکوب و کاهش آن بیان miR-1 را تسهیل می‌کند. کاهش غلظت miR-1 تا حدودی آثار ضدتکثیری، ضدتهاجمی و پروآپوپتوزی را به‌واسطه خاموش‌سازی MALAT1 در سلول‌های سرطان پروستات خنثی می‌کند و از سویی، ناک‌دان MALAT1 مانع تکثیر، مهاجرت و افزایش آپوپتوز از طریق افزایش بیان miR-1 می‌شود؛ همچنین در این مطالعه، KRAS هدف miR-1 بود و یک miR-1 بیان KRAS را با تعامل مستقیم با آن مهار می‌کند. بیان MALAT1 بیان KRAS را تسهیل می‌سازد، درحالی که این اثر توسط تنظیم miR-1 در سلول‌های سرطان پروستات حذف می‌شود. بیان بیش از حد miR-1 مانع تکثیر و مهاجرت و ارتقای آپوپتوز می‌گردد، درحالی که آثار ضدتکثیری و ضدتهاجمی و پروآپوپتوزی miR-1

افزایش یافته است و میزان بیان MALAT1 با اندازه غدد لنفاوی، بیان گیرنده استروژن، مرحله تومور و درجه بافت‌شناسی ارتباط مثبت دارد. این داده‌ها نشان می‌دهد که بیان MALAT1 می‌تواند به عنوان یک نشانگر دقیق در تشخیص سرطان سینه استفاده شود و ارزش پیش‌آگهی‌دهنده برای این بیماری دارد (۲۸). یائو و همکاران نشان دادند که بیان MALAT1 در کارسینوم سلول سنگ‌فرشی مری (ESCC)، بالاتر از بافت‌های طبیعی مجاور است و بیان بالای آن با پیش‌آگهی ضعیف همراه است. ناک‌دان MALAT1 باعث کاهش تکثیر سلولی، افزایش آپوپتوز، مهار مهاجرت و تهاجم، کاهش تشکیل کلونی و توقف چرخه سلولی در مرحله G2/M می‌شود (۲۹). دنگ و همکاران تشخیص دادند که بیان MALAT1 در سلول‌های سرطان معده، در مقایسه با بافت طبیعی مجاور، بالاتر است. کاهش سطح بیان MALAT1 می‌تواند متاستاز تومور را مهار کند، در حالی که افزایش بیان آن متاستاز را تقویت می‌نماید (۳۰). لی و همکاران نقش MALAT1 را در رده‌های سلولی سرطان تخدمان و نمونه‌های تومور بالینی بررسی کردند و دریافتند که MALAT1 به‌طور خاص در رده‌های سلولی سرطان تخدمان بیان دارند و با برهم‌کنش با miRNAها، باعث تخدمان بیان miRNAها، باعث MALAT1 پیشرفت سرطان تخدمان می‌شوند. ناک‌دان MALAT1 تکثیر و سنتر DNA سلول‌های سرطان تخدمان را lncRNA MALAT1 یک سرکوب می‌کند؛ بنابراین، آنکوژنیک است که باعث تکثیر سرطان تخدمان می‌شود و می‌تواند به عنوان یک هدف درمانی برای سرطان تخدمان در نظر گرفته شود (۳۱). شی و همکاران ارتباط میان MALAT1 و سرطان مثانه را از جنبه بیماری‌زایی بررسی کردند. این بررسی نشان داد که بیان بالای این ژن، باعث پیشرفت و متاستاز سرطان مثانه می‌شود؛ بنابراین می‌تواند به عنوان یک عامل پیش‌آگهی برای این بیماران در نظر گرفته شود؛ همچنین مطالعات دیگر نشان داده است که MALAT1 سبب مهار آپوپتوز سلول‌های توموری و باعث تهاجم سلول در سرطان مثانه می‌گردد

کارسینوم سلول سنگفرشی دهانی در مقایسه با بافت های طبیعی مجاور، بیان بسیار بالایی دارد. بیان بالای PANDAR در بافت های سرطانی باعث افزایش رشد، تکثیر و مهاجرت می شود. نشان داده شده است که ناک اوت این IncRNA توسط فن CRISPR/Cas9 به کاهش تکثیر سلولی و افزایش آپوپتوز منجر می گردد. از سوی دیگر، PANDAR از طریق اتصال به SRSF7 و PIM1 را تنظیم می کند. توانایی تکثیر سرکوب شده و همچنین القای آپوپتوز توسط ناک دان PANDAR، با بیان بالای PIM1 خنثی می گردد؛ پس IncRNA PANDAR و PIM1 می توانند اهداف درمانی بالقوه ای برای کارسینوم سلول سنگفرشی دهانی باشند (۳۸). ژن و همکاران گزارش دادند که ژن UCA1 در سرطان مثانه بیان بالای دارد و به عنوان یک onco-IncRNA باعث پیشرفت سرطان مثانه می شود. در این مطالعه، با استفاده از فن CRISPR/Cas9 ژن UCA1 حذف گردید که منجر به مهار بسیار تکثیر سلولی، مهاجرت و تهاجم می شود. سازو کارهای مرتبط با اثر مهاری CRISPR/Cas9- UCA1 بر فنوتیپ های بد خیم سرطان مثانه به القای توقف چرخه سلولی در مرحله G1، افزایش فراوان آپوپتوز و افزایش فعالیت MMPs نسبت داده می شود؛ بنابراین، UCA1 ممکن است به عنوان یک نشانگر غیر تهاجمی برای تشخیص سرطان مثانه استفاده گردد (۳۹). ژانگ و همکاران بیان ژن PDEF را در کارسینوم معده ارزیابی کردند. در این مطالعه، برای ایجاد سلول های حذفی PDEF، از روش CRISPR/Cas9 استفاده شد و عملکرد ژن PDEF در تکثیر سلولی و تهاجم سرطان معده بررسی گردید. نتایج نشان داد که حذف ژن PDEF در سلول های سرطانی باعث مهار تکثیر سلولی، مهاجرت و تهاجم می شود و ممکن است به عنوان یک هدف درمانی جدید در سرطان معده به کار رود (۴۰). با توجه به اینکه تاکنون از فن کریسپر برای تخریب ژن MALAT1 در رده سلولی MDA-MB-361 مربوط به سرطان سینه استفاده نشده و آثار حاصل از این دست ورزی در بیان

توسط افزایش KRAS در سلول های سرطان پروستات کاهش می یابد که نشان می دهد miR-1 پیشرفت سرطان پروستات را توسط تنظیم KRAS سرکوب می کند؛ به عبارت دیگر، این مطالعه یک مسیر تنظیم کننده جدید MALAT1 / miR-1 / KRAS پروستات نشان می دهد و تأیید می کند که تکثیر و مهاجرت سلولی و مهار آپوپتوز توسط کاهش miR-1 و افزایش KRAS را در سلول های سرطان پروستات بدون گیرنده آندروژن ترویج می دهد (۳۵). زارع و همکاران در یک مطالعه نشان دادند که بیان ژن CCAT1 در رده های سلولی آدنو کارسینوم روده بزرگ در مقایسه با بافت طبیعی مجاور، بالاتر است. به منظور جلوگیری از رونویسی یا تغییر ساختار این IncRNA، از فن CRISPR/Cas9 برای حذف ژن CCAT1 استفاده شد. نتایج نشان داد، ناک اوت این ژن با کاهش تعداد و اندازه کلثی ها ارتباط معناداری دارد، به طوری که با کاهش بیان IncRNA CCAT1 رشد، تکثیر و تقسیم سلول ها به میزان بسیاری کاهش می یابد و می تواند متاستاز تومور را مهار کند (۳۶). هبتالا سعید و همکاران ارتباط IncRNA- RP11-156p1.3 با کارسینوم هپاتوسلولار (HCC) بررسی کردند. آنان نشان دادند که افزایش بیان این IncRNA به طور فراوانی باعث افزایش رشد سلول و متاستاز می شود. ناک اوت این ژن توسط فن CRISPR/Cas9 به طور چشمگیری سطح RFTN1 همچنین به طور همزمان سطح مولکول های mRNA و سرعت رشد سلول را نیز کاهش می دهد. با توجه به اینکه در طول سرطان زایی هپاتوسلولار NF- κ B نقش مهمی را در توسعه HCC ایفا می کند و TNF α یک نقش محوری در تکثیر سلولی این بیماری دارد، نتایج نشان می دهد که حذف ژن RP11-156p1.3 منجر به مهار بیان NF- κ B و TNF α می گردد؛ بنابراین ممکن است این IncRNA به عنوان نشانگر زیستی تشخیصی و اهداف بالقوه ای برای راهبردهای درمانی HCC در نظر گرفته شود (۳۷). ژیا و همکاران ثابت کردند PANDAR در

تأثیر مثبت تخریب ژن را در جلوگیری از پیشافت سرطان سینه تأیید می‌کند. فناوری CRISPR/Cas9 یک روش کارآمد برای ایجاد این تأثیرات در کنترل سرطان بود. با توجه به بیان بالای MALAT1 در انواع سرطان‌ها، کنترل بیان این ژن می‌تواند به عنوان یک هدف درمانی برای انواع سرطان‌ها در نظر گرفته شود.

تشکر و قدردانی

مقاله حاضر منتج از پایان‌نامه دکترای تخصصی با مصوبه کد اخلاق به شماره IR.IAU.M.REC.1399.010 است. بدین‌وسیله از همکاری صمیمانه اعضای محترم مرکز تحقیقات بیوتکنولوژی و حوزه معاونت پژوهشی دانشگاه کمال تقدير و تشکر داریم.

کد اخلاق: IR.IAU.M.REC.1399.010

References

- Zahedi R, Molavivardanjani H, Baneshi MR, Haghdoost AA, Malekpourafshar R. Incidence trend of breast cancer in women of Eastern Mediterranean region countries from 1998 to 2019: a systematic review and meta-analysis. *BMC Womens Health* 2020; 20:53-62. doi: 10.1186/s12905-020-00903-z
- Alziftawi NH, Shafie AA, Mohamedibrahim MI. Cost effectiveness analyses of breast cancer medications use in developing countries: a systematic review. *Expert Rev Pharmacoecon Outcomes Res* 2020; 27:1-11. doi: 10.1080/14737167.2020.1794826.
- Farhood B, Geraily G, Alizadeh A. Incidence and mortality of various cancers in Iran and compare to other countries: a review article. *Iran J Public Health* 2018; 47:309-16.
- Ghaforifard S, Tamizkar KH, Hussen BM, Taheri M. An update on the role of long non-coding RNAs in the pathogenesis of breast cancer. *Pathol Res Pract* 2021; 219. doi: 10.1016/j.prp.2021.153373.
- Li He, Si qing Ma, Jin Huang, Xiao ping Chen, Hong hao Zhou. Roles of long noncoding RNAs in colorectal cancer metastasis. *Oncotarget* 2017; 8: 39859-76. doi: 10.1863/oncotarget.16339.
- Zhou S, He Y, Yang S, Hu J, Zhang Q, et al. The regulatory roles of lncRNAs in the process of breast cancer invasion and metastasis. *Biosci Rep* 2018; 38. doi: 10.1042/BSR20180772.
- Dey BK, Mueller AC, Dutta A. Long non coding RNAs as emerging regulators of differentiation, development, and disease. *Transcription* 2014; 5:e944014. doi: 10.4161/21541272.2014.944014.
- Zhao M, Wang S, Li Q, Ji Q, Guo P, et al. MALAT1 a long non-coding RNA highly associated with human cancers. *Oncol Lett* 2018; 16:19-26. doi: 10.3892/ol.2018.8613.
- Li X, Chen N, Zhou L, Wang C, Wen X, et al. Genome wide target interactome profiling reveals a novel EEF1A1 epigenetic pathway for oncogenic lncRNA MALAT1 in breast cancer. *Am J Cancer Res* 2019; 9:714-29.
- Wang Y, Xue D, Li Y, Pan X, Zhang X, et al. The long noncoding RNA MALAT-1 is a novel biomarker in various cancers: a meta analysis based on the GEO database and literature. *J Cancer* 2016; 7:991-1001. doi: 10.7150/jca.14663. eCollection 2016.
- Dake C, Xu T, Chang HH, Song Q, Zhu Y, et al. The role of MALAT1 in cancer. *J Cancer Sci Clin Ther* 2019; 3: 5-27. doi: 10.26502/jesct.5079016.
- Peng R, Luo C, Guo Q, Cao J, Yang Q, et al. Association analyses of genetic variants in long non-coding RNA MALAT1 with breast cancer susceptibility and mRNA expression of MALAT1 in Chinese Han population. *Gene* 2018; 642: 241-8. doi: 10.1016/j.gene.2017.11.013.
- Shen F, Zheng H, Zhou L, Li W, Xu X. Overexpression of MALAT1 contributes to cervical cancer progression by acting as a sponge of miR-429. *J Cell Physiol* 2019; 234:11219-26. doi: 10.1002/jcp.27772.
- Chen Y, Huang W, Sun W, Zheng B, Wang C, et al. LncRNA MALAT1 promotes cancer metastasis in osteosarcoma via activation of the PI3K-Akt signaling pathway. *Cell Physiol Biochem* 2018;

- 51:1313-26. doi: 10.1159/000495550.
15. Sun Z, Ou C, Liu J, Chen C, Zhou Q, et al. YAP1-induced MALAT1 promotes epithelial–mesenchymal transition and angiogenesis by sponging miR-126-5p in colorectal cancer. *Oncogene* 2019; 38:2627-44. doi: 10.1038/s41388-018-0628-y.
 16. Ellis MJ, Ding L, Shen D, Luo J, Suman VJ, et al. Whole-genome analysis informs breast cancer response to aromatase inhibition. *Nature* 2012; 486:353-60. doi: 10.1038/nature11143.
 17. Yoshimoto R, Mayeda A, Yoshida M, Nakagawa S. MALAT1 long non-coding RNA in cancer. *Biochim Biophys Acta* 2016; 1859:192-9. doi: 10.1016/j.bbagr.2015.09.012.
 18. Gayatri A, Diermeier S, Akerman M, Chang KC, Wilkinson LE, et al. Differentiation of mammary tumors and reduction in metastasis upon Malat1 lncRNA loss. *Gens Dev* 2016; 30:34-51. doi: 10.1101/gad.270959.115.
 19. Mendell JT. Targeting a long noncoding RNA in breast cancer. *N Engl J Med*. 2016; 374:23:2287-9. doi: 10.1056/NEJMci1603785.
 20. Louie E, Chen XF, Coomes A, Ji K, Tsirka S, et al. Neurotrophin-3 modulates breast cancer cells and the microenvironment to promote the growth of breast cancer brain metastasis. *Oncogene* 2013; 32: 4064-77. doi: 10.1038/onc.2012.417.
 21. Vijai S, Gohil N, Garcia RR, Braddick D, Fofié CK. Recent advances in CRISPR-Cas9 genome editing technology for biological and biomedical investigations. *J Cell Biochem* 2018; 119:81-94. doi: 10.1002/jcb.26165.
 22. Carlos PQ, Aparicio-Prat E, Arnan C, Polidori T, Hermoso T, et al. Scalable design of paired CRISPR guide RNAs for genomic deletion. *PLoS Comput Biol* 2017; 13 doi: 10.1371/journal.pcbi.1005341.
 23. Tianzuo Z, Rindtorff N, Betge J, Ebert MP, Boutros M. CRISPR/Cas9 for cancer research and therapy. *Semin cancer biol*. Academic Press 2019; 55: 106-119. doi: 10.1016/j.semcan.2018.04.001.
 24. Yuan R, Varanasi M, Mendes S, Yamagata HM, Wilson RD, et al. Poly (Beta-Amino Ester) Nanoparticles Enable Nonviral Delivery of CRISPR-Cas9 Plasmids for Gene Knockout and Gene Deletion. *Mol Ther Nucleic Acids* 2020; 20: 661-72. doi: 10.1021/acs.bioma.2c00137.
 25. Qiong W, Meng WY, Jie Y, Zhao H. LncRNA MALAT1 induces colon cancer development by regulating miR-129-5p/HMGB1 axis. *J Cell Physiol* 2018; 233 6750-57. doi: 10.1002/jcp.26383.
 26. Shi D, Zhang Y, Lu R, Zhang Y. The long non-coding RNA MALAT1 interacted with miR-218 modulates choriocarcinoma growth by targeting Fbxw8. *Biomed Pharmacother* 2018; 97: 543-50. doi: 10.1016/J.BIOPHA.2017.10.083.
 27. Zhang R, Xia Y, Wang Z, Zheng J, Chen Y, et al. Serum long non coding RNA MALAT-1 protected by exosomes is up-regulated and promotes cell proliferation and migration in non-small cell lung cancer. *Biochem Biophys Res Commun* 2017; 490: 406-14. doi: 10.1016/j.bbrc.2017.06.055.
 28. Zidan HE, Karam RA, El-Seifi OS, Elrahman TA . Circulating long non-coding RNA MALAT1 expression as molecular biomarker in Egyptian patients with breast cancer. *Cancer genet* 2018; 20: 32-7. doi: 10.1016/j.cancergen.2017.11.005.
 29. Wenjian Y, Bai Y, Li Y, Guo L, Zeng P, et al. Upregulation of MALAT-1 and its association with survival rate and the effect on cell cycle and migration in patients with esophageal squamous cell carcinoma. *Tumor Biol* 2016; 37: 4305-12. doi: 10.1007/s13277-015-4223-3.
 30. Quan-jun D, Xie LQ, Li H. Overexpressed MALAT1 promotes invasion and metastasis of gastric cancer cells via increasing EGFL7 expression. *Life Sci* 2016; 157: 38-44. doi: 10.1016/j.lfs.2016.05.041.
 31. Ruilin L, Xue M, Zhang L, Lin ZQ. Long noncoding RNA MALAT1-regulated microRNA 506 modulates ovarian cancer growth by targeting iASPP. *Oncotarget* 2017; 10: 35-42. doi:10.2147/OTT.S112686.
 32. Xie H, Liao X, Chen Z, Fang Y, He A, et al. LncRNA MALAT1 inhibits apoptosis and promotes invasion by antagonizing miR-125b in bladder cancer cells. *J Cancer* 2018; 8: 3803-11. doi: 10.7150/jca.21228.
 33. Jijun L, Gao J, Tian W, Li Y, Zhang J. Long non-coding RNA MALAT1 drives gastric cancer progression by regulating HMGB2 modulating the miR-1297. *Cancer Cell Int* 2017; 17: 44-9. doi: 10.1186/s12935-017-0408-8.
 34. Yi H, Lin J, Fang H, Fang J, Li C, et al. Targeting the MALAT1/PARP1/LIG3 complex induces DNA damage and apoptosis in multiple myeloma. *Leukemia* 2018; 32: 2250-62. doi: 10.1038/s41375-018-0104-2.
 35. Chang J, Xu W, Du X, Hou J. MALAT1 silencing suppresses prostate cancer progression by upregulating miR-1 and downregulating KRAS. *Oncotargets Ther* 2018; 11: 3461–73. doi: 10.2147/OTT.S164131.
 36. Khadijeh Z, Shademan M, Ghahramani Seno MM, Dehghani H. CRISPR/Cas9 knockout strategies to ablate CCAT1 lncRNA gene in cancer cells. *Biol Proced Online* 2018; 1: 1-12. doi: 10.1186/s12575-018-0086-5.
 37. Said AH, Boshra MS, El Meteini MS, Shafei AE, Matboli M. lncRNA-RP11-156p1. 3, novel diagnostic and therapeutic targeting via CRISPR/Cas9 editing in hepatocellular carcinoma. *Genomics* 2020; 112: 3306-14. doi: 10.1016/j.ygeno.2020.06.020.
 38. Tingting J, Wang F, Qiao B, Ren Y, Xing L, et al. Knockdown of lncRNA pandar by crispr-dCas9 decreases proliferation and increases apoptosis in oral squamous cell carcinoma. *Front Mol Biosci* 2021; 8: 68-75. doi: 10.3389/fmolb.2021.653787.
 39. Shuai Z, Hua L, Liu YH, Sun XM, Jiang MM, et al. Inhibition of long non-coding RNA UCA1 by CRISPR/Cas9 attenuated malignant phenotypes of bladder cancer. *Oncotarget* 2017; 8: 9634-46. doi: 10.18632/oncotarget.14176.
 40. Yi-Qiang Z, Pei JH, Shi SS, Guo XS, Cui GY, et al. CRISPR/Cas9-mediated knockout of the PDEF gene inhibits migration and invasion of human gastric cancer AGS cells. *Biomed Pharmacother* 2019; 111: 76-85. doi: 10.1016/j.bioph.2018.12.048.